

自动控制实践B——2022年春季学期

第五章 Anti-Windup设计 (2)

授课教师：董广忠 (Assoc. Prof.)

哈尔滨工业大学（深圳），HITsz
机电工程与自动化学院 SMEA





5.2 Anti-Windup设计



5.2.1

Anti-Windup设计策略

5.2.2

Anti-Windup设计原理分析

5.2.3

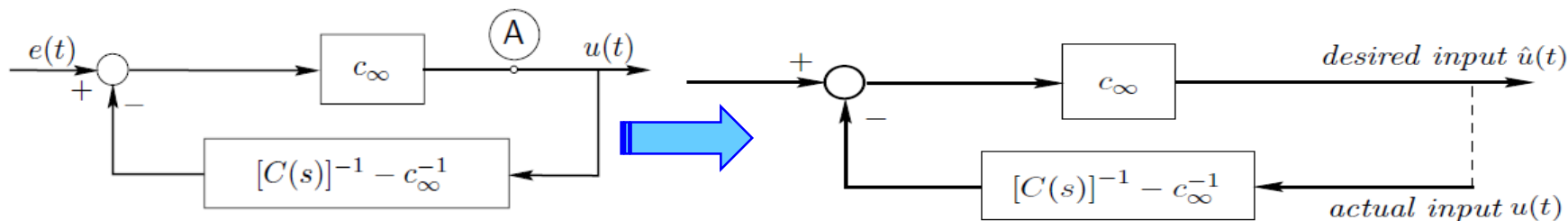
Anti-Windup的多种实现形式



◆ Anti-Windup控制的基本结构

假设控制器是双正则的最小相位系统，将其分解为比例项和严格正则项：

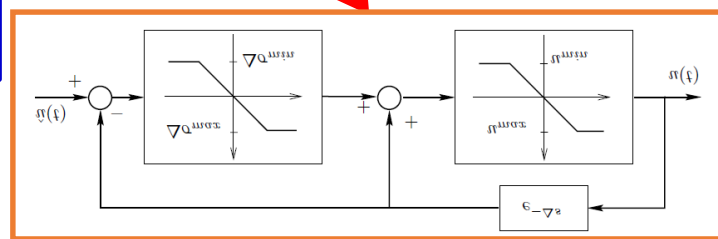
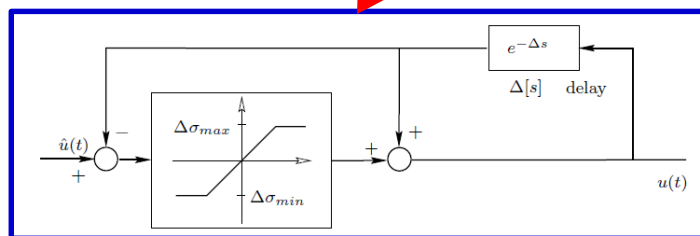
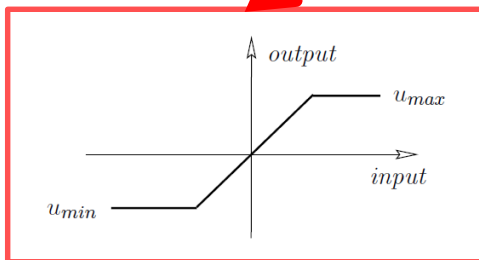
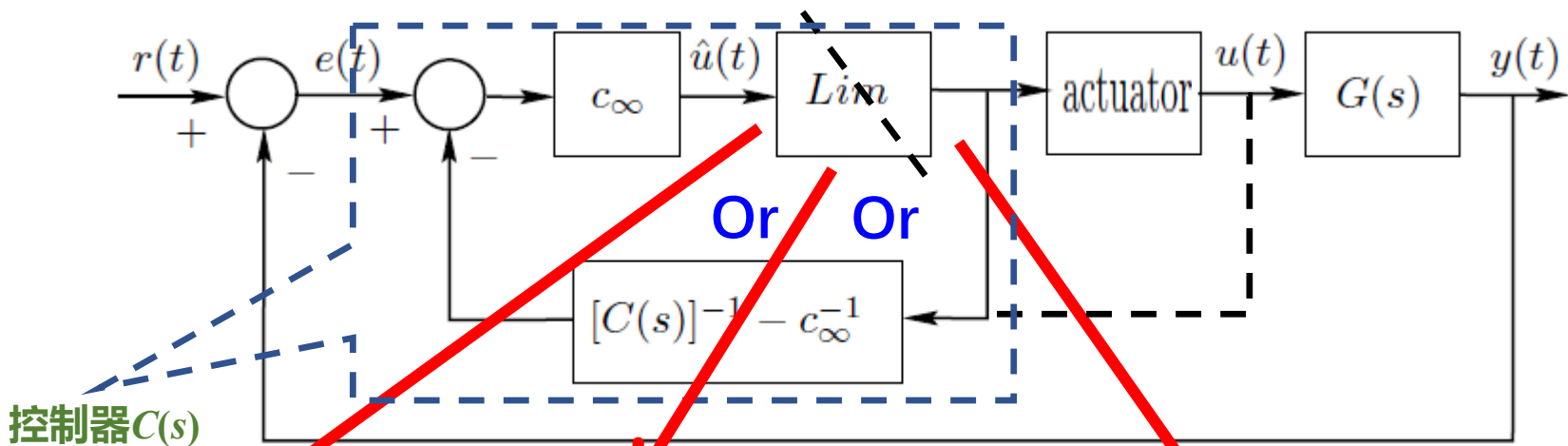
$$C(s) = c_{\infty} + \bar{C}(s)$$



设计策略：

- (1) 控制器的动态由对象的实际输入信号来驱动；
- (2) 由对象的实际输入信号驱动时，控制器的动态是稳定的。

◆ Anti-Windup控制回路——含有执行器约束



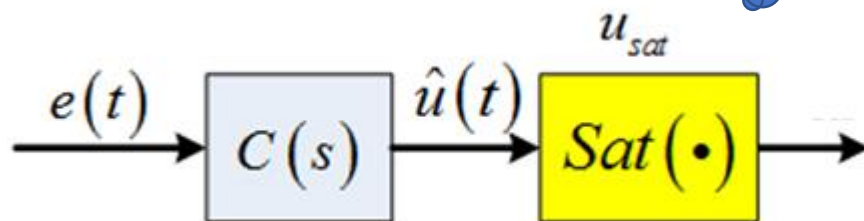


5.2.2 Anti-Windup设计原理分析



◆ Anti-Windup设计思路

考虑带有执行器饱和的控制器如下：



如何构造出
期望误差信号？

控制器的输入信号 $e(t)$ 过大可能会导致执行器饱和，Anti-Windup的思想是基于控制器输入信号 $e(t)$ ，找到一个期望的控制器输入信号 $\bar{e}(t)$ ，使得期望误差信号驱动的控制器的输出不会超出实际控制量的限幅 u_{sat} 。



◆ Anti-Windup设计思路

假设控制器是最小相位、双正则的，将其分解为比例项和严格正则项：

$$C(s) = C_{\infty} + \bar{C}(s)$$

期望的控制量

$$\hat{u} = \bar{C} \bar{e} + C_{\infty} e$$

期望的误差信号满足

$$u(t) = \text{sat}(\hat{u}(t)) = \bar{C} \bar{e} + C_{\infty} \bar{e}$$

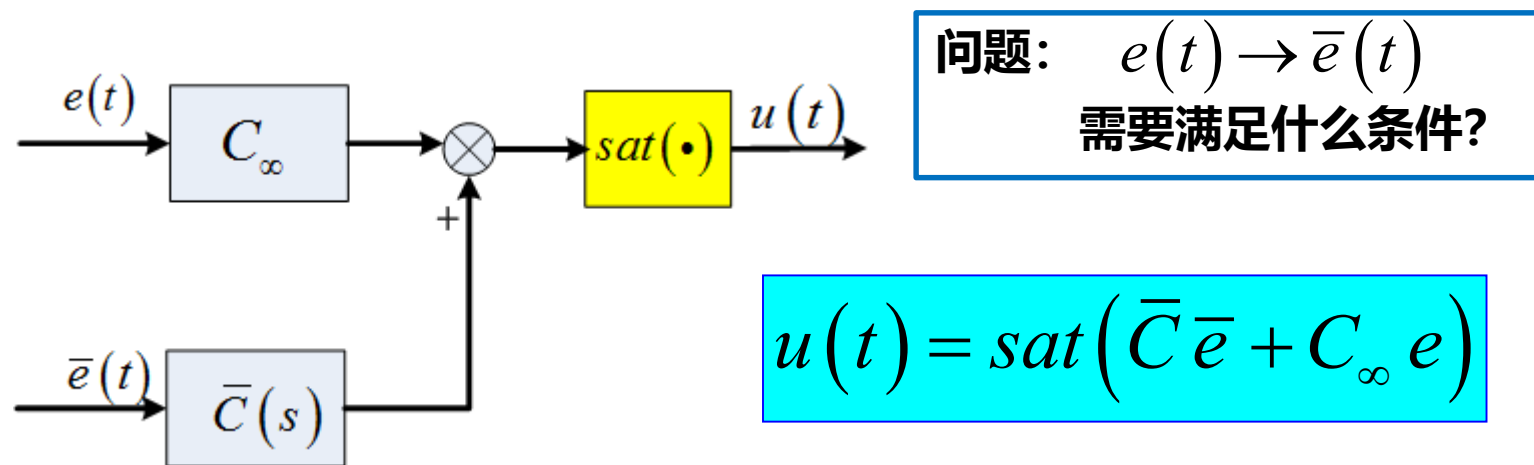


◆ Anti-Windup设计思路

期望的控制量：

$$\hat{u} = \bar{C} \bar{e} + C_{\infty} e$$

在执行器线性工作范围内，满足 $\bar{e}(t) = e(t)$ ；当执行器饱和时，由 $\bar{e}(t)$ 驱动控制器中的动态。





5.2.2 Anti-Windup设计原理分析



◆ Anti-Windup设计思路

在未达到饱和时，期望误差信号与实际误差信号相同，

达到饱和后，保证 $C\bar{e} = u$ ：

$$\begin{cases} \hat{u} = \bar{C}\bar{e} + C_{\infty}e \\ u = \text{sat}(\hat{u}) \end{cases}$$

$$= \text{sat}(\bar{C}\bar{e} + C_{\infty}e)$$

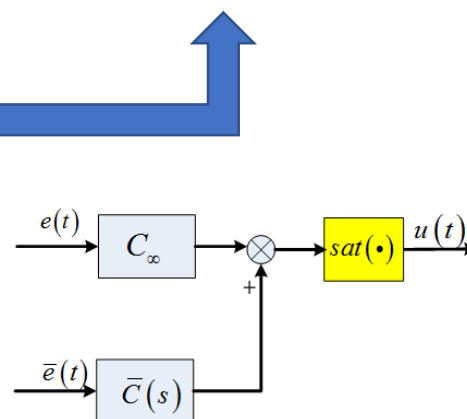
$$\bar{C}\bar{e} + C_{\infty}\bar{e} = \text{sat}(\bar{C}\bar{e} + C_{\infty}e)$$

$$\bar{e} = C_{\infty}^{-1} [\text{Sat}(\bar{C}\bar{e} + C_{\infty}e) - \bar{C}\bar{e}]$$

问题： $e(t) \rightarrow \bar{e}(t)$
需要满足什么条件？

执行器线性工作范围内：

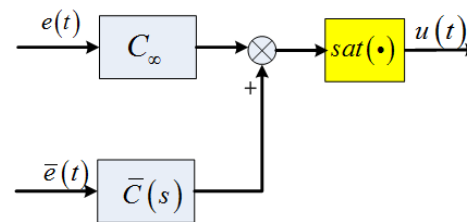
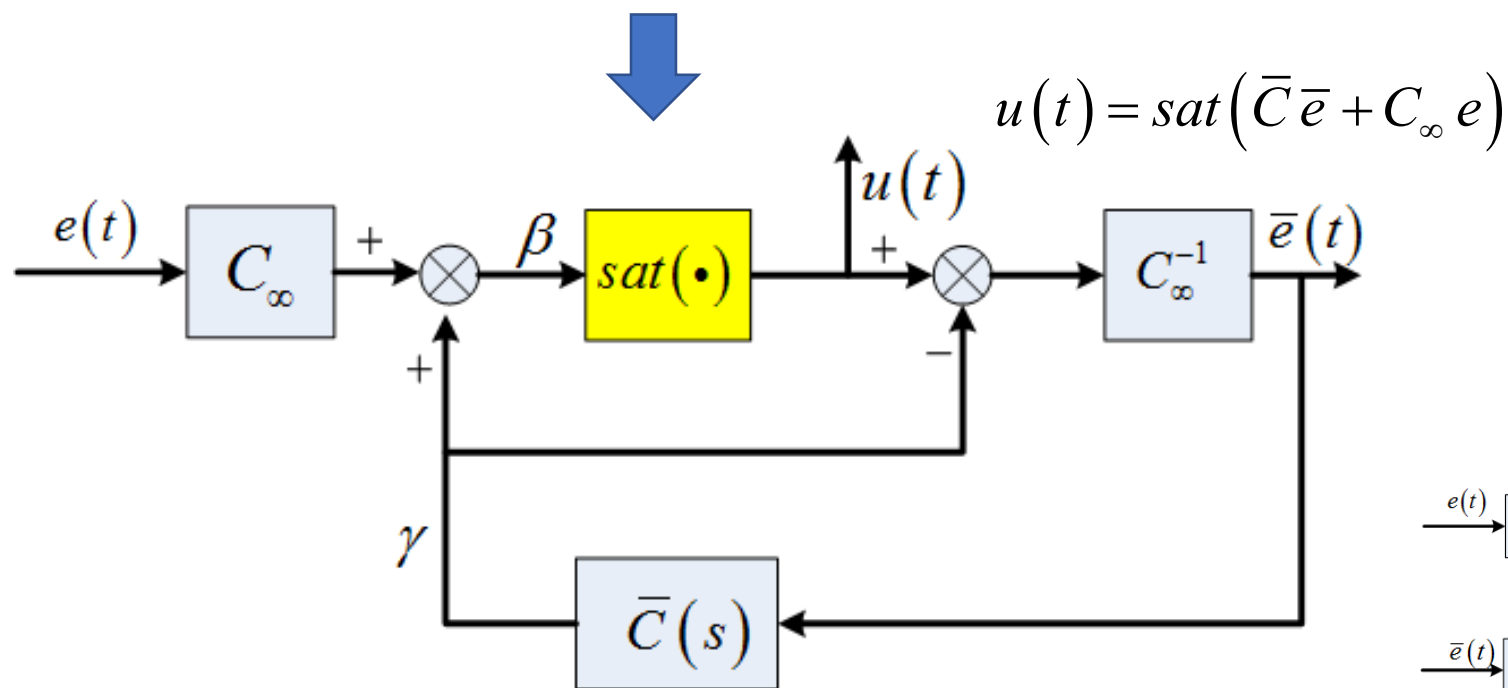
$$\bar{e}(t) = e(t)$$



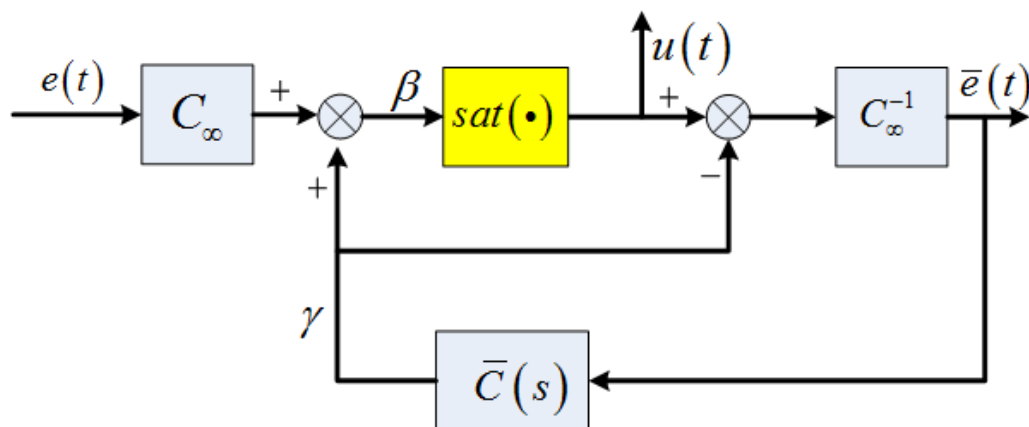
◆ Anti-Windup设计思路

问题: $e(t) \rightarrow \bar{e}(t)$
需要满足什么条件?

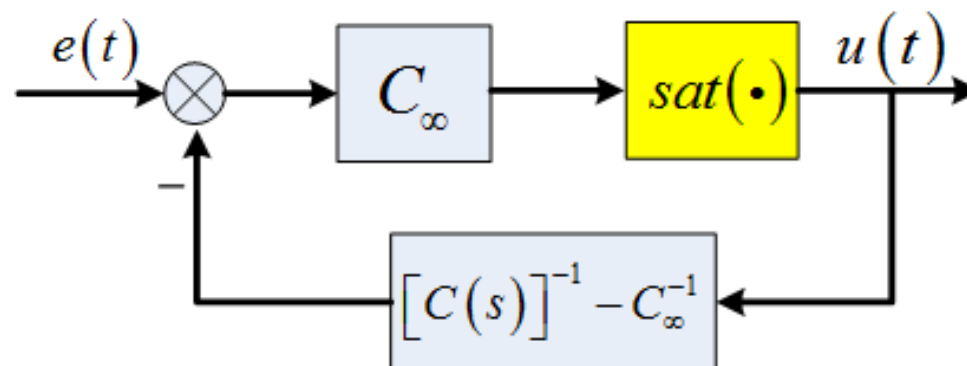
$$\bar{e} = C_{\infty}^{-1} \left[Sat(\bar{C} \bar{e} + C_{\infty} e) - \bar{C} \bar{e} \right]$$



◆ Anti-Windup设计思路



$$\bar{e} = C_{\infty}^{-1} \left[\text{Sat}(\bar{C}\bar{e} + C_{\infty}e) - \bar{C}\bar{e} \right]$$





5.2.2 Anti-Windup设计原理分析



◆ Anti-Windup设计思路

$$\gamma(t) = C_{\infty}^{-1} \bar{C} [u(t) - \gamma(t)]$$



$$C_{\infty} \gamma(t) = \bar{C} u(t) - \bar{C} \gamma(t)$$



$$(C_{\infty} + \bar{C}) \gamma = \bar{C} u(t)$$



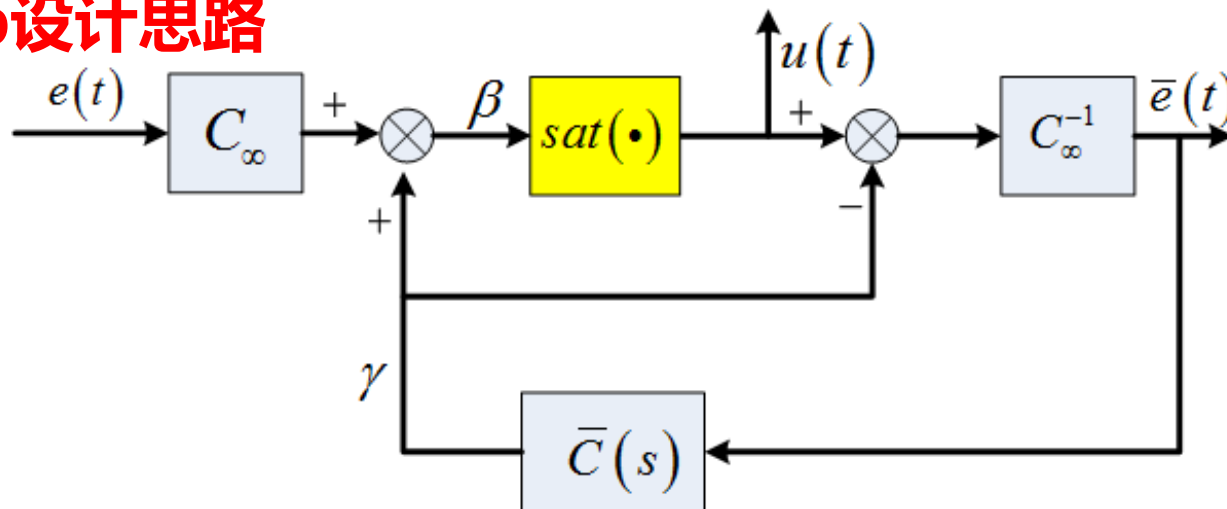
$$C \gamma(t) = (C - C_{\infty}) u(t)$$



$$\gamma(t) = -C_{\infty} C^{-1} u(t) + C^{-1} C u(t)$$



$$\gamma(t) = -C_{\infty} [C^{-1} - C_{\infty}^{-1}] u(t)$$



$$\beta(t) = C_{\infty} e(t) + \gamma(t)$$

$$= C_{\infty} e(t) - C_{\infty} [C^{-1} - C_{\infty}^{-1}] u(t)$$



$$\beta(t) = C_{\infty} [e(t) - (C^{-1} - C_{\infty}^{-1}) u(t)]$$



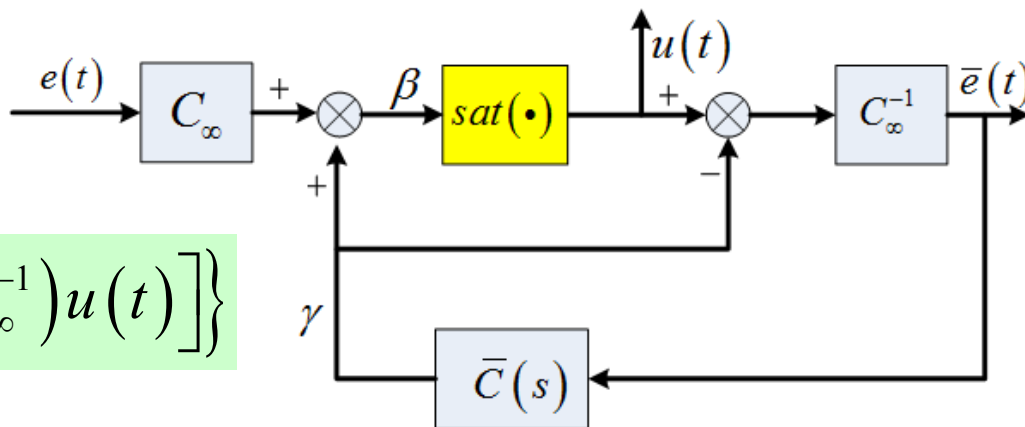
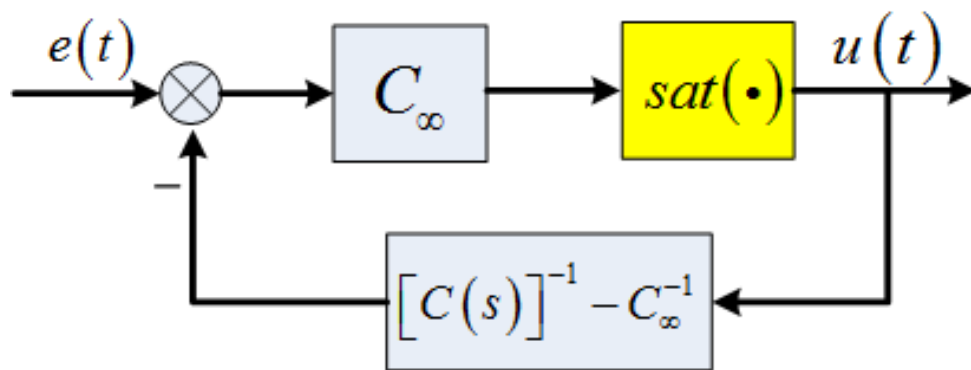
◆ Anti-Windup设计思路

$$\gamma(t) = -C_{\infty} [C^{-1} - C_{\infty}^{-1}] u(t)$$

$$\beta(t) = C_{\infty} [e(t) - (C^{-1} - C_{\infty}^{-1}) u(t)]$$

$$u(t) = \text{sat}(\beta)$$

$$u(t) = \text{sat} \left\{ C_{\infty} [e(t) - (C^{-1} - C_{\infty}^{-1}) u(t)] \right\}$$



等价!



5.2 Anti-Windup设计



5.2.1

Anti-Windup设计策略

5.2.2

Anti-Windup的设计原理分析

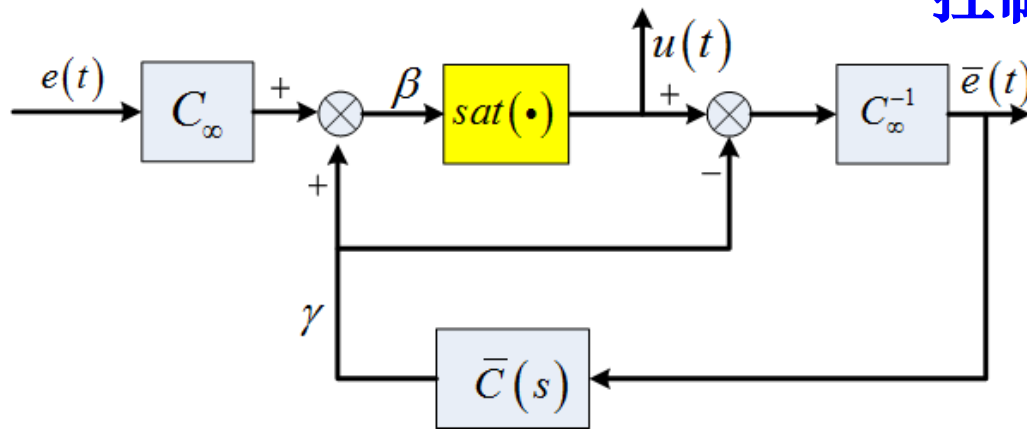
5.2.3

Anti-Windup的多种实现形式

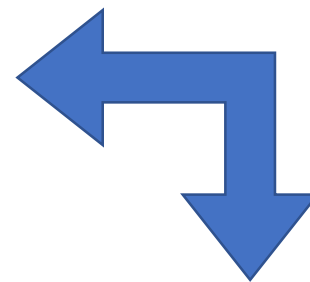


◆ Anti-Windup设计

控制器是最小相位、双正则的：

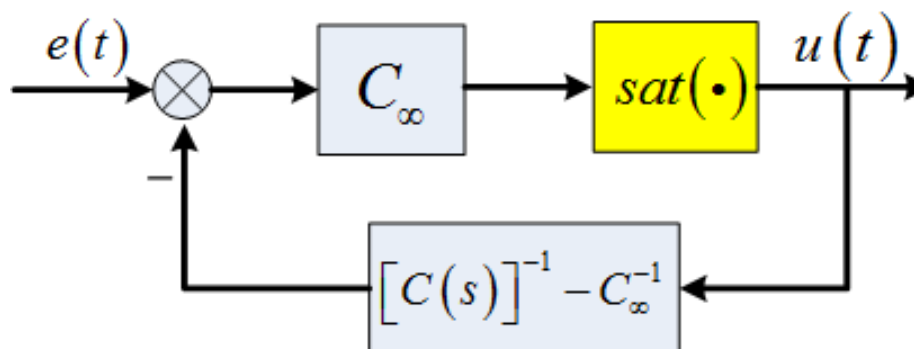


$$C(s) = C_{\infty} + \bar{C}(s)$$



$$\bar{e} = C_{\infty}^{-1} \left[\text{Sat}(\bar{C} \bar{e} + C_{\infty} e) - \bar{C} \bar{e} \right]$$

- (1) 控制器的动态由对象的实际输入信号来驱动，误差只驱动比例环节；
- (2) 由对象的实际输入信号驱动时，控制器的动态是稳定的。

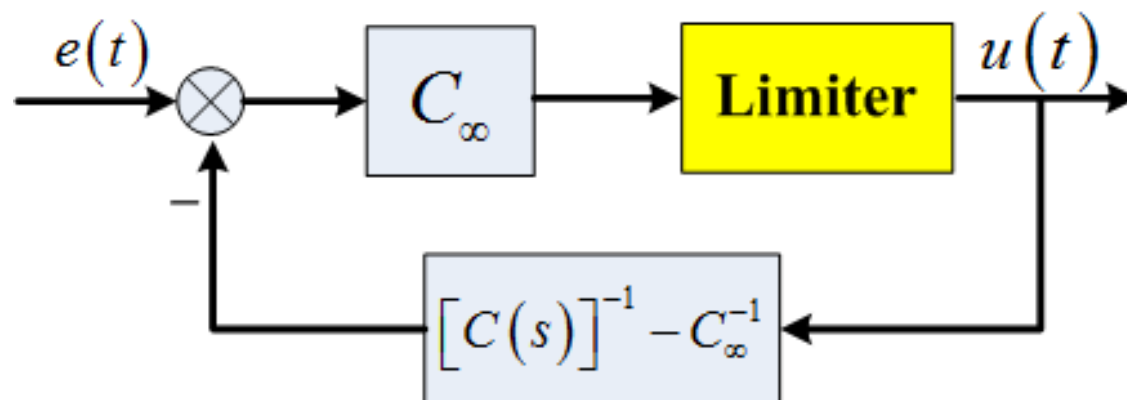




5.2.3 Anti-Windup的多种实现形式



Anti-Windup设计得到了广泛研究，已有多种关于抗饱和和的设计方法，这里只列举两种简单的其他形式的Anti-Windup控制器，不做深入分析。



Anti-Windup 控制器基本结构

适用条件：控制器双正则，最小相位

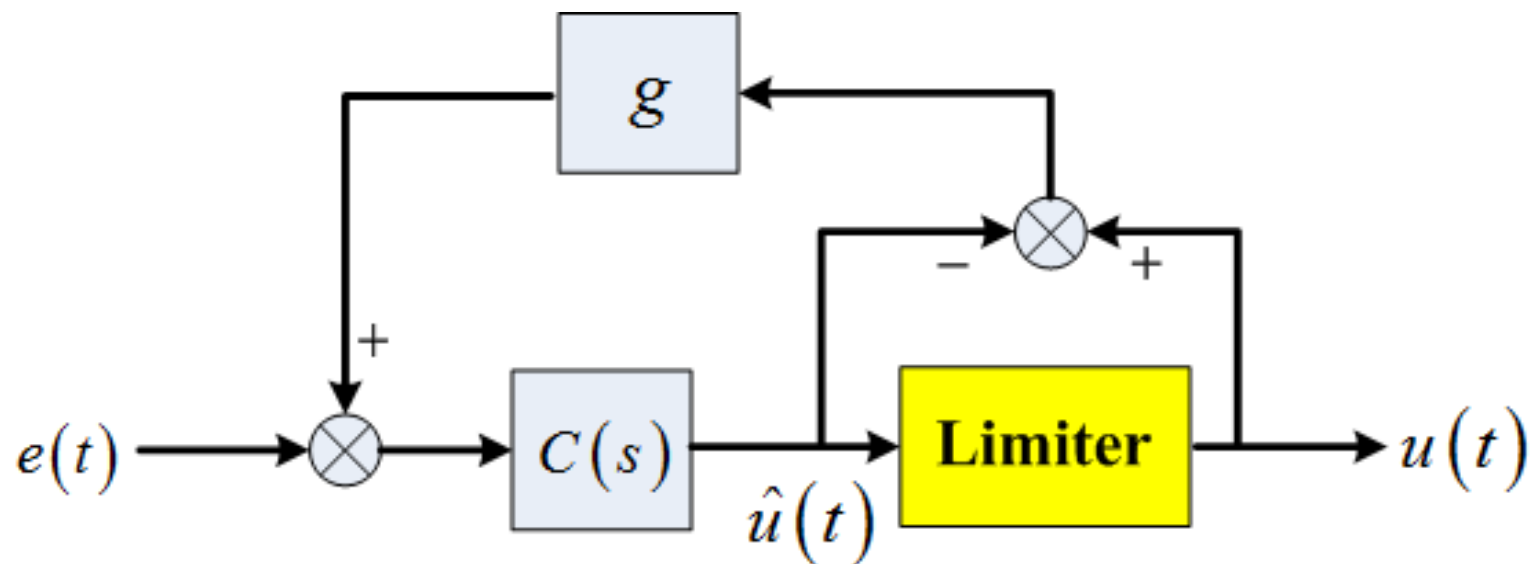




5.2.3 Anti-Windup的多种实现形式



◆ Anti-Windup的其他形式——第一种



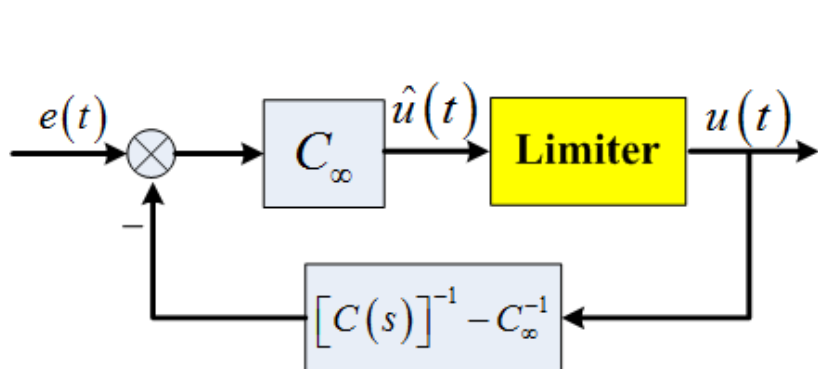
Anti-Windup 控制器的其他形式——第一种

g : 静态增益
控制器无双正则、最小相位需求

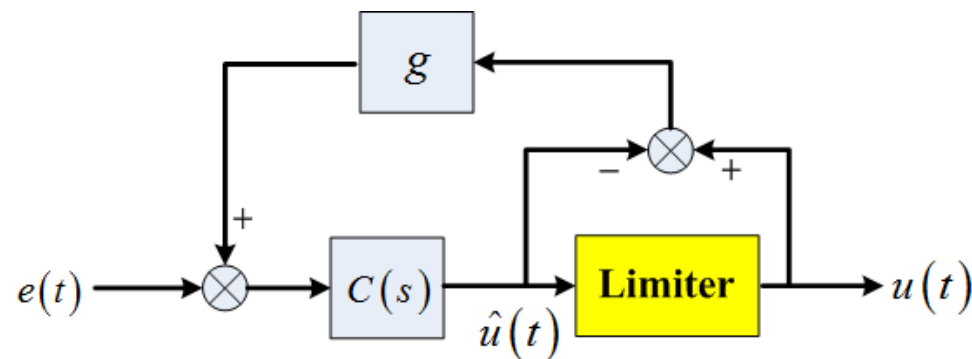


◆ 例4——两种Anti-Windup控制器对比分析

考虑积分型控制器 $C(s) = \frac{k}{s}$



(a) Anti-Windup基本结构



(b) Anti-Windup其他形式-第一种



5.2.3 Anti-Windup的多种实现形式



◆ 例4——两种Anti-Windup控制器对比分析

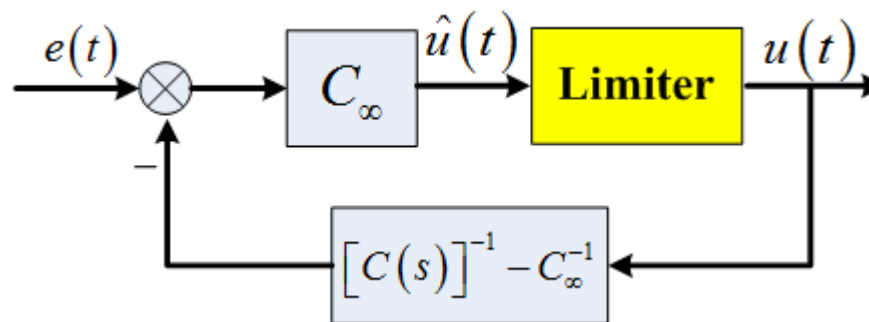
考虑积分型控制器 $C(s) = \frac{k}{s}$

通过添加一个远离虚轴、最小相位的零点 $\varepsilon s + 1$ ，可以变为近似等价的双正则

最小相位的形式：

$$C(s) = \frac{k(\varepsilon s + 1)}{s}$$

$$\begin{aligned}\hat{u}(t) &= C_\infty \left[e(t) - \left(C(s)^{-1} - C_\infty^{-1} \right) u(t) \right] \\ &= u(t) + C_\infty e(t) - C_\infty C(s)^{-1} u(t) \\ &= u(t) + \left[k\varepsilon e(t) - \frac{\varepsilon s}{\varepsilon s + 1} u(t) \right]\end{aligned}$$



(a) Anti-Windup基本结构



◆ 例4——两种Anti-Windup控制器对比分析

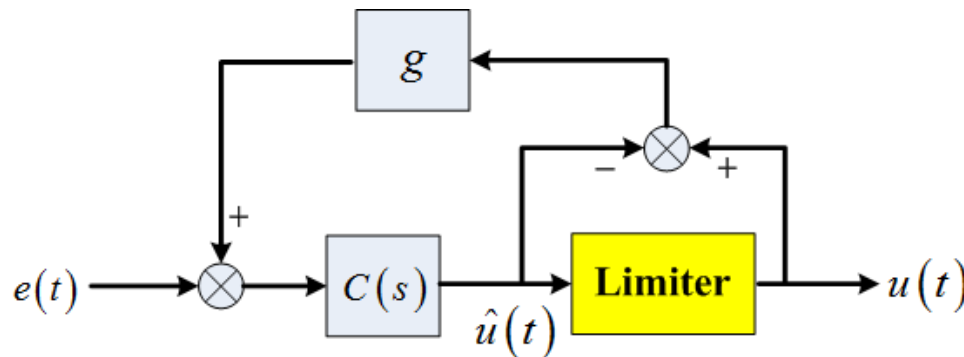
考虑积分型控制器 $C(s) = \frac{k}{s}$

$$\hat{u}(t) = C(s) \{ e(t) + g[u(t) - \hat{u}(t)] \} = C(s)e(t) + C(s)g u(t) - C(s)g \hat{u}(t)$$

$$\hat{u}(t) + \frac{gk}{s} \hat{u}(t) = \frac{k}{s} e(t) + \frac{gk}{s} u(t)$$

$$\hat{u}(t) = \frac{gk}{s + gk} u(t) + \frac{k}{s + gk} e(t)$$

$$\hat{u}(t) = u(t) + \left[\frac{k}{s + gk} e(t) - \frac{s}{s + gk} u(t) \right]$$



(b) Anti-Windup其他形式—第一种

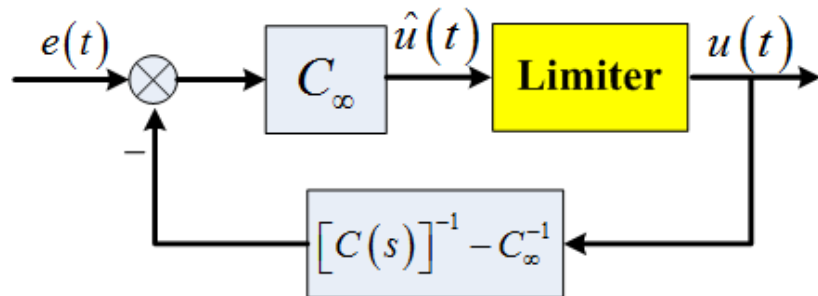


5.2.3 Anti-Windup的多种实现形式

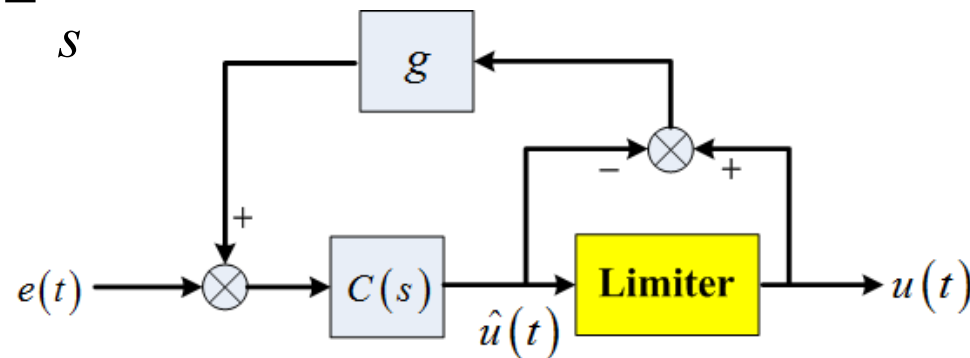


◆ 例4——两种Anti-Windup控制器对比分析

考虑积分型控制器 $C(s) = \frac{k}{s}$



(a) Anti-Windup基本结构



(b) Anti-Windup其他形式—第一种

$$\hat{u}(t) = u(t) + \left[k \varepsilon e(t) - \frac{\varepsilon s}{\varepsilon s + 1} u(t) \right] \quad \xleftrightarrow[\text{近似等价}]{\varepsilon = \frac{1}{gk}} \quad \hat{u}(t) = u(t) + \left[\frac{k}{s + kg} e(t) - \frac{s}{s + gk} u(t) \right]$$

$\frac{1}{g} e(t)$





5.2.3 Anti-Windup的多种实现形式



◆ Anti-Windup的其他形式——第二种

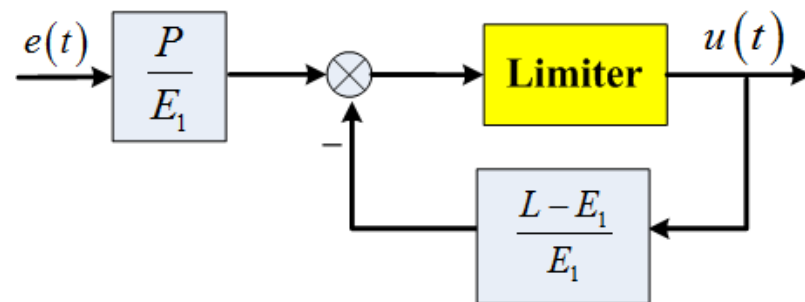
控制器 $C(s) = \frac{P(s)}{L(s)}$ ，其中

$$L(s) = s^n + l_{n-1}s^{n-1} + \cdots + l_0$$
$$P(s) = p_n s^n + p_{n-1}s^{n-1} + \cdots + p_0$$

闭环极点 $s = -\alpha_i, i = 1, \cdots, N > n$

$E_1(s)$ 为 n 阶(与 $L(s)$ 的阶次相同)的
首一的Hurwitz多项式:

$$E_1 = (s + \alpha_{m_1})(s + \alpha_{m_2}) \cdots (s + \alpha_{m_n})$$



Anti-Windup其他形式——第二种

无限制条件，适用于：
非最小相位控制器、
不稳定控制器、
⋮





5.2.3 Anti-Windup的多种实现形式



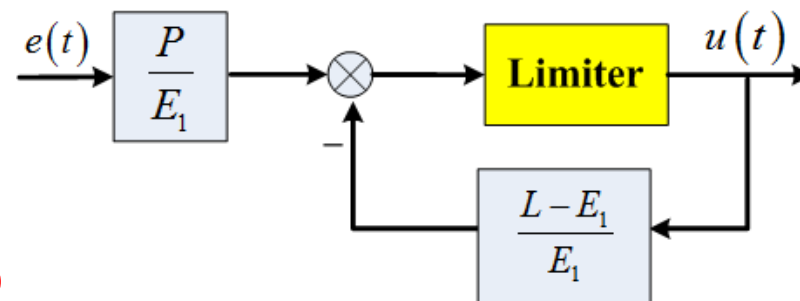
◆ Anti-Windup的其他形式——第二种

控制器 $C(s) = \frac{P(s)}{L(s)}$ ，其中

$$L(s) = s^n + l_{n-1}s^{n-1} + \dots + l_0$$
$$P(s) = p_n s^n + p_{n-1}s^{n-1} + \dots + p_0$$

线性区域内的传递函数：

$$\frac{U(s)}{E(s)} = \frac{P(s)}{E_1(s)} \left(\frac{1}{1 + \frac{L(s) - E_1(s)}{E_1(s)}} \right) = \frac{P(s)}{E_1(s)} \frac{E_1(s)}{L(s)}$$



Anti-Windup其他形式——第二种

$$E_1 = (s + \alpha_{m_1})(s + \alpha_{m_2}) \cdots (s + \alpha_{m_n})$$

无限制条件，适用于：
非最小相位控制器、
不稳定控制器、
⋮



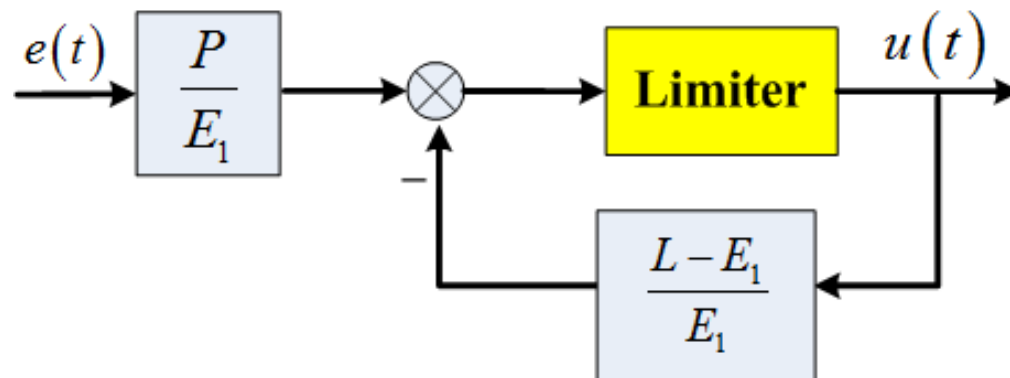


5.2.3 Anti-Windup的多种实现形式



◆ Anti-Windup的其他形式——第二种

从原理上讲， $E_1(s)$ 可选择为任意的 n 阶首一Hurwitz多项式，但不同的选择会导致控制性能的差异。一种经验的选择方法是从闭环极点中选择(n)个最快的极点作为 $E_1(s)$ 的根，大多数情况下可获得满意的性能。



Anti-Windup其他形式——第二种

闭环极点 $s = -\alpha_i, i = 1, \dots, N > n$

$$E_1 = (s + \alpha_{m_1})(s + \alpha_{m_2}) \cdots (s + \alpha_{m_n})$$





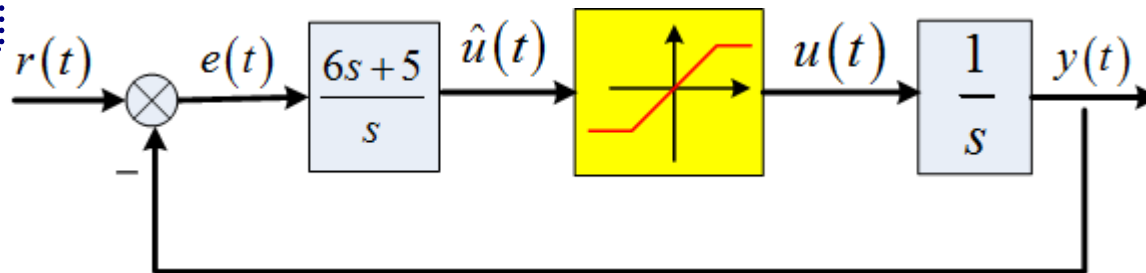
5.2.3 Anti-Windup的多种实现形式



◆ 例5——Anti-Windup其他形式控制器举例

$$U(s) = \frac{P(s)}{L(s)} E(s)$$

控制器 $L(s) = s$
 $P(s) = 6s + 5$



执行器限幅

$$u_{\max} = 1 \quad u_{\min} = -1$$

闭环极点

$$s_1 = -1, \quad s_2 = -5$$

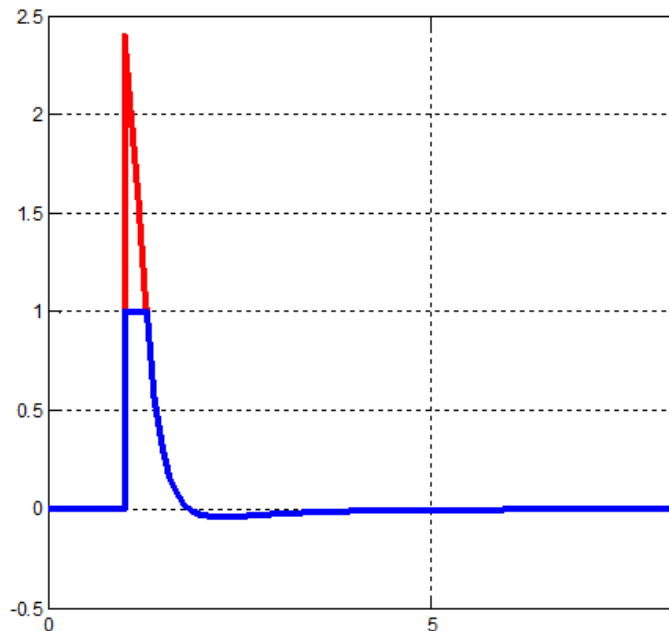
控制系统框图
(非Anti-Windup控制器)

$$G_c(s) = \frac{\frac{6s+5}{s^2}}{1 + \frac{6s+5}{s^2}} = \frac{6s+5}{s^2+6s+5}$$

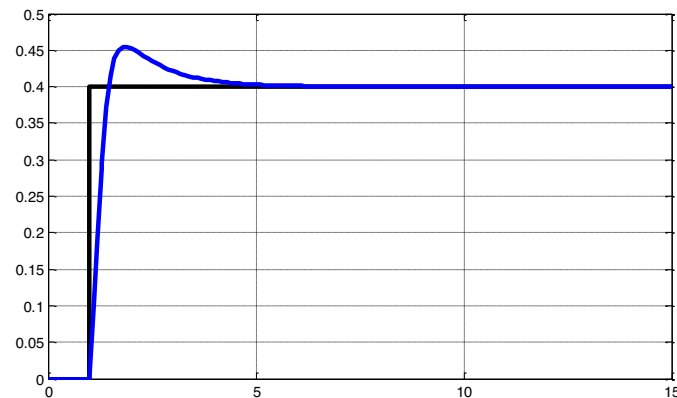


◆ 例5——Anti-Windup其他形式控制器举例

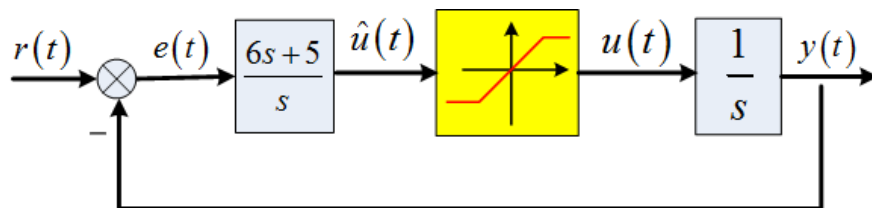
——非Anti-Windup 设计仿真结果



u & \hat{u}



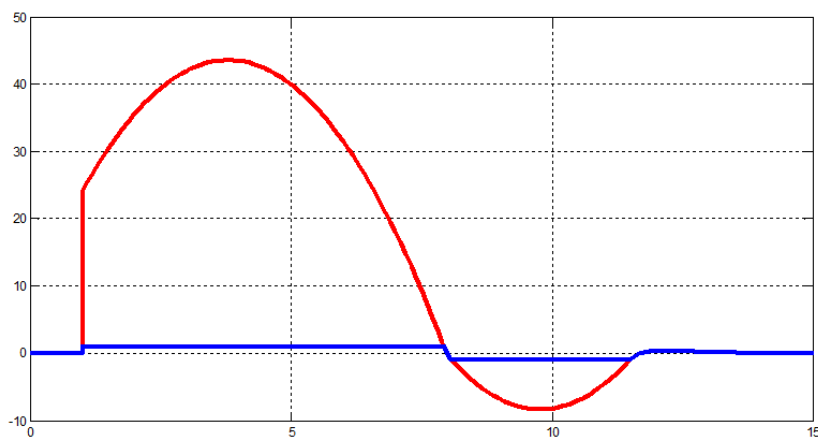
阶跃响应 ($r=0.4$)



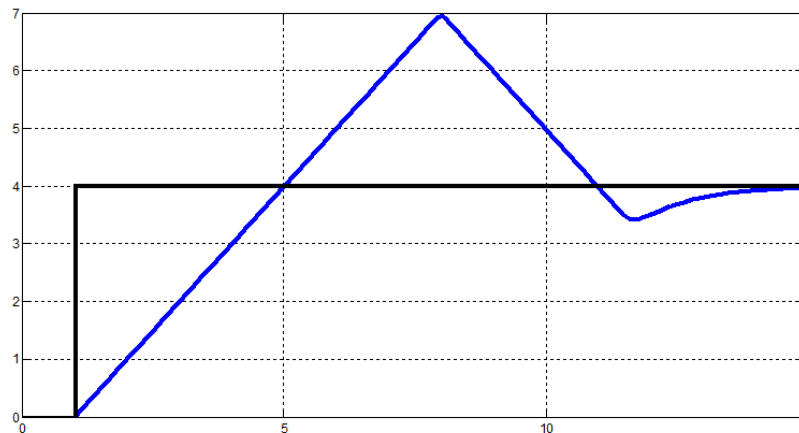
控制系统框图
(非Anti-Windup控制器)

◆ 例5——Anti-Windup其他形式控制器举例

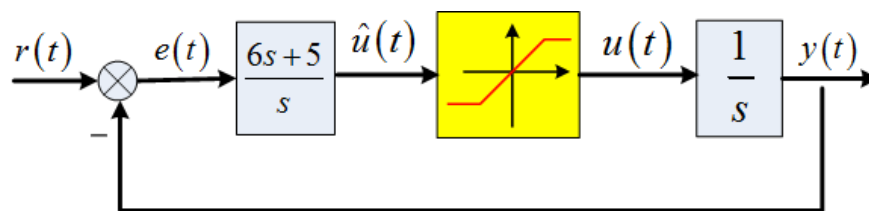
——非Anti-Windup 设计仿真结果



u & \hat{u}



阶跃响应 ($r=4$)



控制系统框图
(非Anti-Windup控制器)



5.2.3 Anti-Windup的多种实现形式



◆ 例5——Anti-Windup其他形式控制器举例

闭环极点

——Anti-Windup 设计

$$s_1 = -1, \quad s_2 = -5$$

$$E_1(s) = s + 5$$

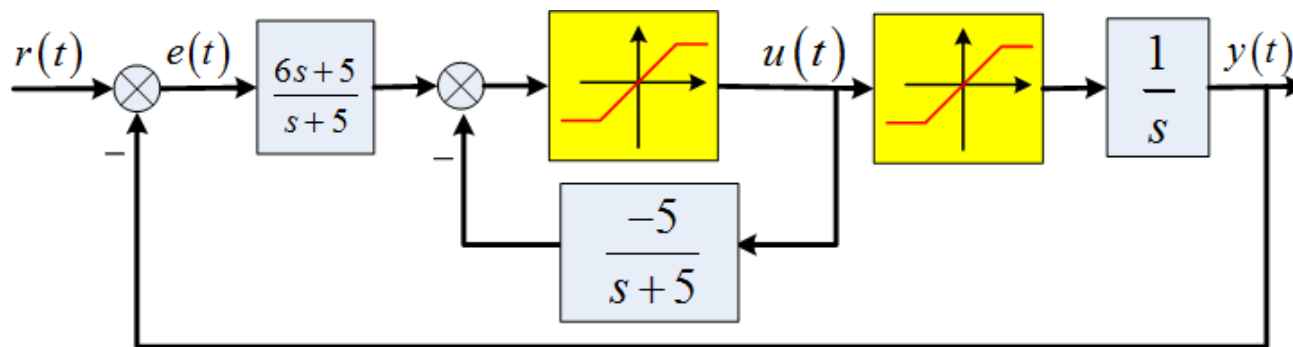
$$\frac{P(s)}{E_1(s)} = \frac{6s + 5}{s + 5}$$

$$\frac{L(s) - E_1(s)}{E_1(s)} = \frac{-5}{s + 5}$$

$$C(s) = \frac{P(s)}{L(s)}$$

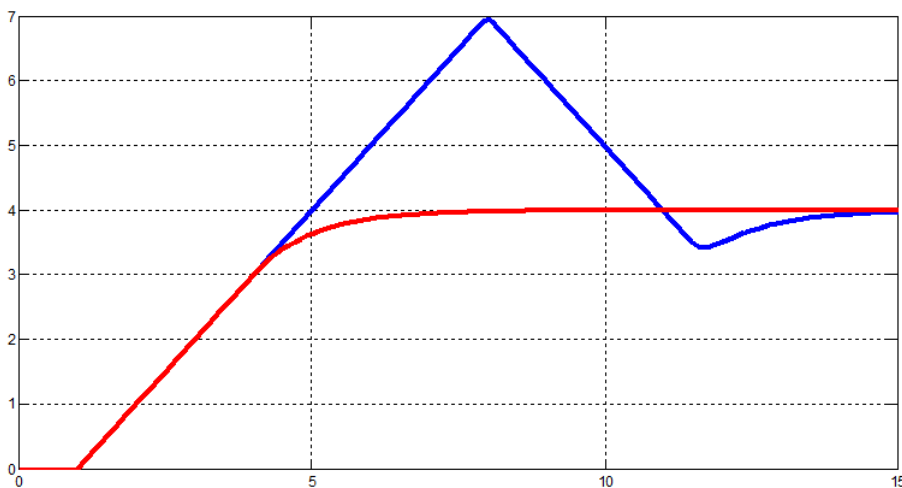
控制系统框图
(Anti-Windup控制器)

$$L(s) = s \quad P(s) = 6s + 5$$

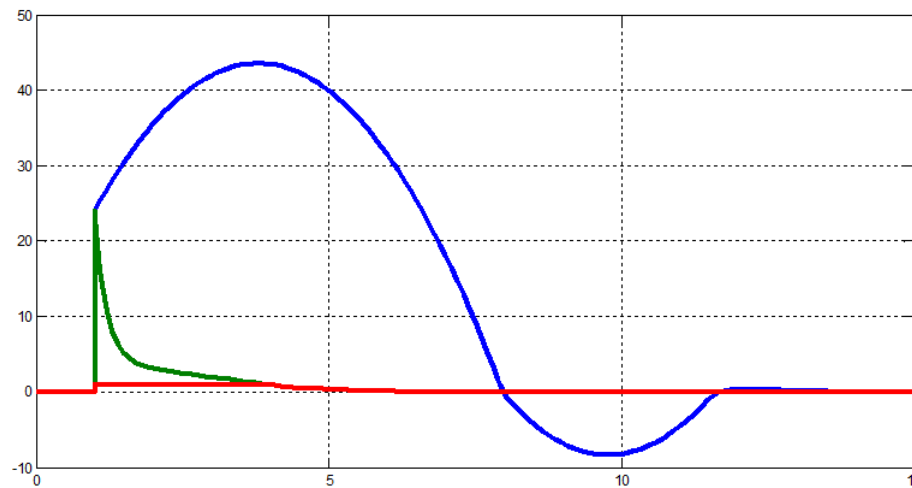


◆ 例5——Anti-Windup其他形式控制器举例

——Anti-Windup 设计仿真结果



阶跃响应对比 ($r=4$)



控制量对比 ($r=4$)



5.2.3 Anti-Windup的多种实现形式



◆ 例6——Anti-Windup其他形式控制器举例

不稳定对象 $G(s) = \frac{1}{s-1}$

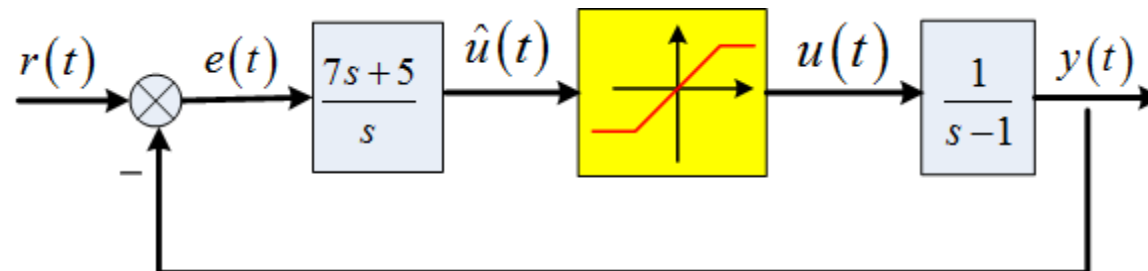
控制器 $L(s) = s$
 $P(s) = 7s + 5$

执行器限幅

$$u_{\max} = 1 \quad u_{\min} = -1$$

闭环极点

$$s_1 = -1, \quad s_2 = -5$$



控制系统框图
(非Anti-Windup控制器)

$$G_c(s) = \frac{\frac{7s+5}{s(s-1)}}{1 + \frac{7s+5}{s(s-1)}} = \frac{7s+5}{s^2+6s+5}$$





5.2.3 Anti-Windup的多种实现形式



◆ 例6——Anti-Windup其他形式控制器举例

闭环极点

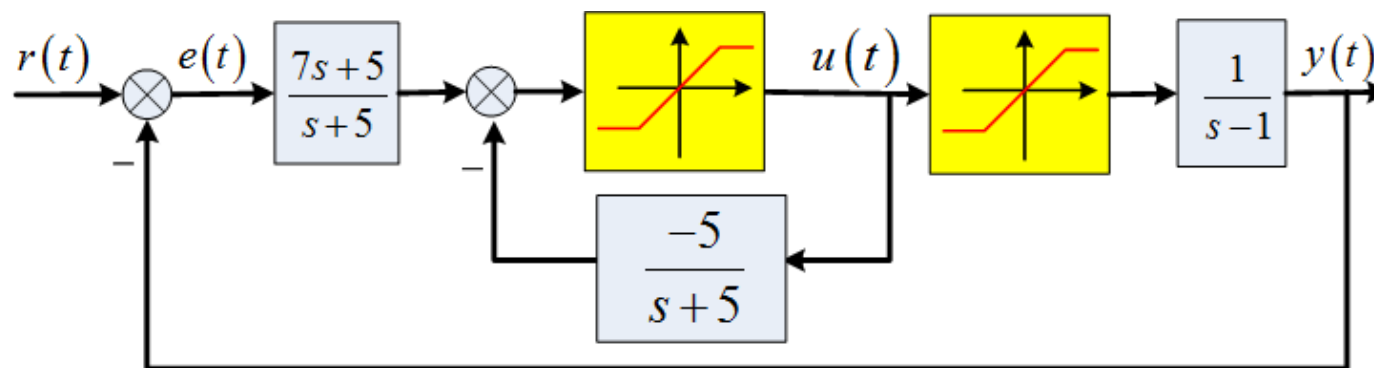
——Anti-Windup 设计

$$s_1 = -1, \quad s_2 = -5$$

$$E_1(s) = s + 5$$

$$\frac{P(s)}{E_1(s)} = \frac{7s + 5}{s + 5}$$

$$\frac{L(s) - E_1(s)}{E_1(s)} = \frac{-5}{s + 5}$$



控制系统框图
(Anti-Windup控制器)

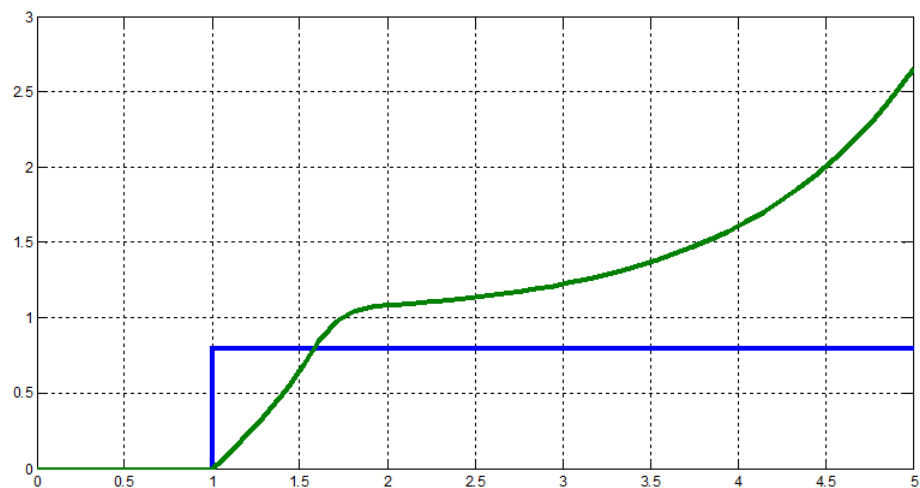
$$C(s) = \frac{P(s)}{L(s)}$$

$$L(s) = s \quad P(s) = 7s + 5$$

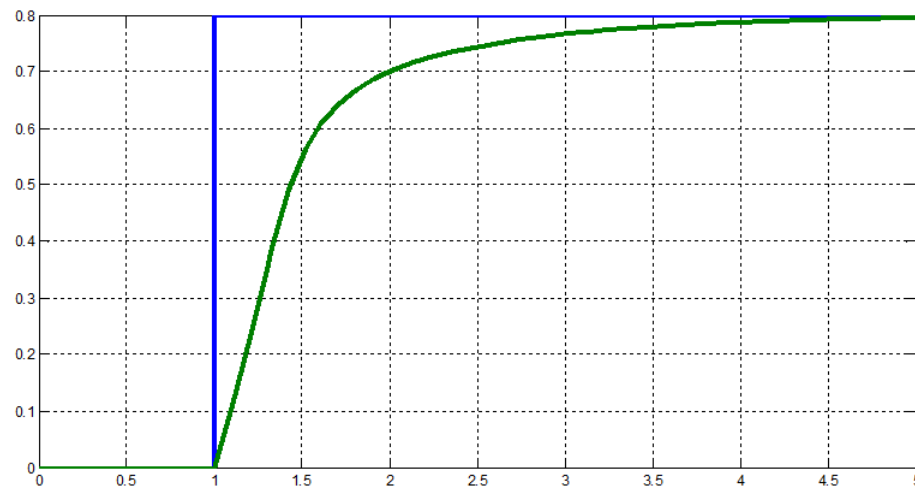


◆ 例6——Anti-Windup其他形式控制器举例

——Anti-Windup 设计仿真结果



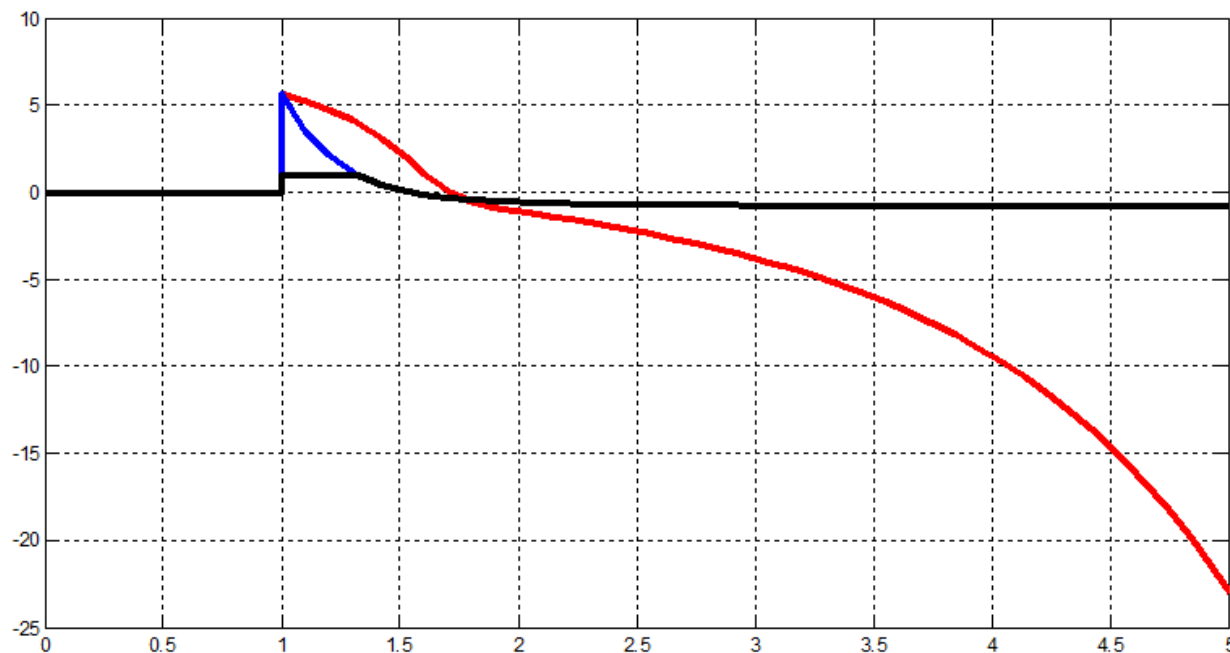
阶跃响应对比 ($r=0.8$)
非Anti-Windup控制



阶跃响应对比 ($r=0.8$)
Anti-Windup控制

◆ 例6——Anti-Windup其他形式控制器举例

——Anti-Windup 设计仿真结果



阶跃响应 ($r=0.8$) 下的控制量对比

非Anti-Windup控制 Anti-Windup期望控制 Anti-Windup实际控制



小 结



1. 执行器的饱和或转换速率限制并不总是能够完全避免，但可以通过多种措施减弱其对控制性能的影响。
2. 执行器进入饱和后，如不能及时退出饱和（如积分存在Windup时），则反馈作用被切断，系统处于开环状态，对于不稳定的被控对象，这是非常危险的。
3. 一个主要的Anti-Windup设计策略是**控制器的动态由对象的实际输入信号来驱动**，且此时控制器的动态是稳定的。





Thanks for your attention!
